



МИНИСТЕРСТВО НАУКИ И ВЫСШЕГО ОБРАЗОВАНИЯ РОССИЙСКОЙ
ФЕДЕРАЦИИ

ГОСУДАРСТВЕННОЕ АВТОНОМНОЕ ОБРАЗОВАТЕЛЬНОЕ УЧРЕЖДЕНИЕ
ВЫСШЕГО ОБРАЗОВАНИЯ
«НАЦИОНАЛЬНЫЙ ИССЛЕДОВАТЕЛЬСКИЙ УНИВЕРСИТЕТ
ИТМО»

Имитационное моделирование робототехнических систем

Отчет по третьей лабораторной работе

Автор: Терещенко Евгений Константинович

Номер ИСУ: 507632

Группа: R4150

Преподаватель: Ракшин Егор Александрович

Дата сдачи отчета: 18 ноября 2025 г.

Оглавление

1 Цель Работы	1
2 Ход работы	2
2.1 Структура XML-модели	2
2.2 Программная реализация динамики и оптимизации	5
2.3 Результаты	8
3 Вывод	10
Список иллюстраций	11

1 Цель Работы

Целью данной работы является моделирование динамики пассивного коленного механизма типа Optimus knee в среде MuJoCo и осуществить подбор его геометрических параметров таким образом, чтобы траектория конечной точки была максимально близка к горизонтальной линии на заданной высоте h_z .

Исходная система представлена на изображении 1.1

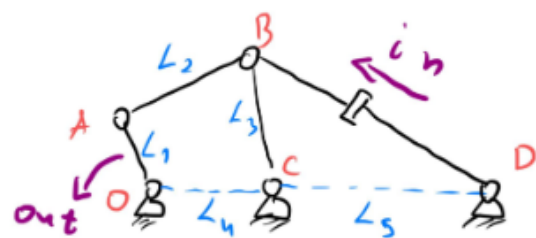


Рис. 1.1: Заданная система

Результатом работы должна стать оптимизация геометрии за счет работы оптимизатора и анализ ошибки между действительным и "желаемым" значением.

2 Ход работы

Прежде всего сама система должна быть инициализирована пользователем. В среде MuJoCo это достигается путем создания файла на разметочном языке XML.

Поэтому сначала будет разобрана архитектура XML файла, а затем обсуждена работа кода и в частности оптимизатора, а так же проанализированы ошибки.

2.1 Структура XML-модели

Модель механизма задаётся в файле `mech.xml` в формате MuJoCo XML. Ниже кратко рассмотрены ключевые элементы.

Во-первых, задаются глобальные параметры моделирования: шаг интегрирования и гравитация (ускорение свободного падения направлено вдоль оси z):

```
1 <mujoco>
2   <option timestep="1e-4"/>
3   <option gravity="0 0 -9.8"/>
```

Далее в секции `asset` описывается оформление сцены (текстура пола и т.п.), а в `worldbody` создаются источник света, опорная плоскость и камеры обзора:

```
1 <worldbody>
2   <light pos="0 0 10"/>
3   <geom type="plane" size="0.5 0.5 0.1" material="grid"/>
4
5   <camera name="side view" pos="0.1 -1.5 1.0" euler="90 0 0"/>
6   <camera name="upper view" pos="0 0 1.5" euler="0 0 0"/>
```

Сама механическая система реализована набором вложенных тел (`body`) со шарнирами `joint` и твёрдыми телами `geom`. Левый опорный шарнир A :

```

1 <body name="ABC1P" pos="0 0 1.5" euler="90 0 0">
2   <joint name="A" type="hinge" axis="0 0 1"
3     stiffness ="0" springref="0" damping="0"/>
4   <geom name="point A" type="cylinder" pos="0 0 0" size="0.02 0.02"/>
5   <geom name="link AB" type="cylinder" pos="0 -0.075 0" size="0.015 0.075"/>
6   ...

```

Внутри этого тела вложено тело с шарниром *B* и звеном *BC*:

```

1 <body name="BC1P" pos="0 -0.15 0">
2   <joint name="B" type="hinge" axis="0 0 1"
3     stiffness ="0" springref="0" damping="0.1"/>
4   <geom name="point B" type="cylinder" pos="0 0 0" size="0.02 0.02"/>
5   <geom name="link BC" type="cylinder" pos="0 -0.1875 0" size="0.015 0.1875"/>
6   <site name="sC1" size="0.01" pos="0 -0.375 0"/>
7   ...

```

Аналогично, правое опорное звено с шарниром *D* описывается отдельным телом:

```

1 <body name="DC2" pos="0.3 0 1.5" euler="90 0 0">
2   <joint name="D" type="hinge" axis="0 0 1"
3     stiffness ="0" springref="0" damping="0.1"/>
4   <geom name="point D" type="cylinder" pos="0 0 0" size="0.02 0.02"/>
5   <geom name="link DC" type="cylinder" pos="0 -0.1875 0" size="0.015 0.1875"/>
6   <site name="sC2" size="0.01" pos="0 -0.375 0"/>
7 </body>

```

Важно отметить, что в шарнирах *B* и *D* задан коэффициент вязкого демпфирования `damping=0.1`. Именно он, а не явно заданный демпфер, моделирует пассивное демпфирование в системе.

Точка сочленения звеньев в точке *C* реализована не отдельным шарниром, а парой кинетически связываемых сайтов `sC1` и `sC2`. В секции `equality` эти сайты жёстко соединяются:

```

1 <equality>
2   <connect site1="sC1" site2="sC2"/>
3 </equality>

```

Таким образом формируется замкнутая кинематическая цепь четырёхзвенника.

Управление осуществляется через позиционный привод в суставе A :

```

1 <actuator>
2   <position name="A" joint="A"/>
3 </actuator>
```

Наконец, для регистрации траектории конечной точки (энд-эфектора) используется датчик положения рамки, привязанный к сайту sP :

```

1 <sensor>
2   <framepos objtype="site" objname="sP"/>
3 </sensor>
```

Именно эта сенсорная информация далее считывается в Python-скрипте и используется для анализа траектории и вычисления ошибки.

Получившаяся система представлена на изображении 2.1:

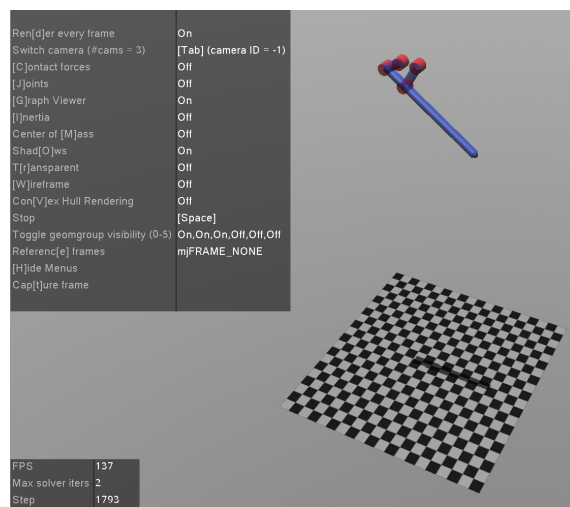


Рис. 2.1: Получившаяся система в среде MuJoCo

2.2 Программная реализация динамики и оптимизации

Для моделирования динамики был разработан скрипт, ключевыми библиотеками которого стали следующие библиотеки: `mujoco`, `mujoco_viewer`, `scipy`.

Для параметрического изменения геометрии звеньев используется вспомогательная функция `swap_par`, которая находит элемент по типу и имени и перезаписывает указанный атрибут. Это позволяет из одного XML-шаблона получать разные конфигурации механизма:

```
1 def swap_par(tree, element_type, element_name, attribute_name, new_value):
2     root = tree.getroot()
3     element = None
4     for elem in root.iter():
5         if etree.QName(elem).localname == element_type \
6             and elem.get("name") == element_name:
7             element = elem
8             break
9     if element is None:
10        raise ValueError(f'Element <{element_type}> name="{element_name}" not found')
11     element.set(attribute_name, new_value)
```

Заданные длины звеньев (L_1 – L_5) подставляются в модель изменением позиций и размеров соответствующих `geom` и `body`, после чего XML перезаписывается и загружается в MuJoCo:

```
1 L_AB = 0.064; L_BC = 0.0832; L_DC = 0.096
2 L_AD = 0.064; L_CP = 0.32
3
4 tree = etree.parse(f)
5 swap_par(tree, 'geom', 'link AB', 'pos', f"0 -{L_AB/2} 0")
6 swap_par(tree, 'geom', 'link AB', 'size', f"0.015 {L_AB/2}")
7
8 tree.write(f, pretty_print=True, xml_declaration=True, encoding='UTF-8')
9
10 model = mujoco.MjModel.from_xml_path(f)
11 data = mujoco.MjData(model)
```

Управляющее воздействие подаётся в сустав A через привод `<position joint="A">`.

В скрипте реализован ПД-закон управления, который формирует значение элемента `data.ctrl[0]` на основе текущего угла и скорости шарнира и желаемой траектории $\theta_{\text{des}}(t)$:

```
1 def set_torque(mj_data, KP, KV, theta):  
2     data.ctrl[0] = KP * (theta - mj_data.qpos[0]) \  
3             + KV * (0.0 - mj_data.qvel[0])  
4  
5 SIMEND = 20.0  
6 TIMESTEP = 0.001  
7 STEP_NUM = int(SIMEND / TIMESTEP)  
8 timeseries = np.linspace(0, SIMEND, STEP_NUM)  
9  
10 T = 2.0  
11 FREQ = 1.0 / T  
12 AMP = np.deg2rad(-90.0)  
13 BIAS = np.deg2rad(-90.0)  
14 theta_des = AMP * np.sin(FREQ * timeseries) + BIAS
```

Основной цикл симуляции на каждом шаге задаёт управляющее воздействие, выполняет интегрирование динамики и записывает координаты энд-эффектора (сайта `sP`):

```
1 EE_position_x = []  
2 EE_position_z = []  
3  
4 viewer = mujoco_viewer.MujocoViewer(model, data,  
5                                         title = "4bar",  
6                                         width=1920, height=1080)  
7  
8 for i in range(STEP_NUM):  
9     if not viewer.is_alive:  
10         break  
11     set_torque(data, 20.0, 5.0, theta_des[i])  
12  
13     position_EE = data.site_xpos[1]  
14     EE_position_x.append(position_EE[0])  
15     EE_position_z.append(position_EE[2])
```

```

16
17 mujoco.mj_step(model, data)
18 viewer.render()
19 viewer.close()

```

Качество механизма оценивается по среднеквадратичному отклонению высоты точки P от заданного уровня h_z во второй половине траектории:

```

1 h_z = 0.98 # [m]
2 EEz = np.array(EE_position_z)
3 midlength = len(EEz) // 2
4 error = np.mean((EEz[midlength:] - h_z)**2)
5 print(error)

```

Для автоматического подбора длин звеньев используется оптимизатор `scipy.optimize.minimize`. Целевая функция `fourbar` по вектору параметров $X = [L_{AB}, L_{BC}, L_{DC}, L_{AD}, L_{CP}]$ перестраивает XML-модель, выполняет симуляцию и возвращает описанную выше ошибку траектории:

```

1 def fourbar(X):
2     L_AB, L_BC, L_DC, L_AD, L_CP = X
3     tree = etree.parse(f)
4
5     swap_par(tree, 'geom', 'link AB', 'pos', f"0 -{L_AB/2} 0")
6     swap_par(tree, 'geom', 'link AB', 'size', f"0.015 {L_AB/2}")
7
8     tree.write(f, pretty_print=True, xml_declaration=True, encoding='UTF-8')
9
10    model = mujoco.MjModel.from_xml_path(f)
11    data = mujoco.MjData(model)
12
13    EE_z = []
14    for i in range(STEP_NUM):
15        set_torque(data, 20.0, 5.0, theta_des[i])
16        EE_z.append(data.site_xpos[1][2])
17        mujoco.mj_step(model, data)
18
19    EE_z = np.array(EE_z)
20    mid = len(EE_z) // 2

```

```
21     return np.mean((EE_z[mid:] - h_z)**2)
```

Начальное приближение берётся из табличных длин, а также задаются ограничения на диапазон параметров и их соотношения:

```
1 X_init = np.array([0.064, 0.0832, 0.096, 0.064, 0.32])
2 bnds  = [(0.02, 0.4)] * 5
3 constraints = [
4     {'type': 'eq', 'fun': lambda v: 2.5 * v[0] - v[1]},
5     {'type': 'eq', 'fun': lambda v: 2.5 * v[0] - v[2]},
6     {'type': 'eq', 'fun': lambda v: 2.0 * v[0] - v[3]},
7     {'type': 'eq', 'fun': lambda v: 2.5 * v[0] - v[4]},
8 ]
9 opts = {'ftol': 1e-7, 'maxiter': 100}
10
11 result = minimize(fourbar, X_init, method='SLSQP',
12                     bounds=bnds, options=opts,
13                     constraints=constraints)
14
15 print(f"X = {result.x}")
16 print(f"error = {result.fun}")
```

Таким образом, Python-скрипт реализует полный цикл: параметризацию XML-модели, возбуждение механизма заданным управляющим воздействием в ставе A , съём траектории энд-эфектора и численную оптимизацию геометрии звеньев по критерию минимизации вертикального отклонения точки P от заданной высоты.

2.3 Результаты

В случае системы с длинами звеньев заданными в условии лабораторной работы и представленными в таблице: ошибка составляет 0.0113 м, что в целом не является большим отклонением (но и не является принебрежимым), но в контексте некоторых задач может стать критическим, поэтому проанализируем результат работы оптимизатора.

Таблица 2.1: Длины звеньев механизма по заданию

L_1 , м	L_2 , м	L_3 , м	L_4 , м	L_5 , м
0,064	0,0832	0,096	0,064	0,32

После отработки оптимизатора с ограничениями указанными в предыдущем параграфе ошибка становится равной $3.3877 * 10^{-7}$ м, однако при вышеупомянутых ограничениях слишком сильно меняется геометрия системы, а именно длины звеньев становятся равными:

Таблица 2.2: Длины звеньев механизма после оптимизации

L_1 , м	L_2 , м	L_3 , м	L_4 , м	L_5 , м
0,13	0,3244	0,324	0,26	0,32

Траектория Энд-Эффектора представлена на изображении 2.2:

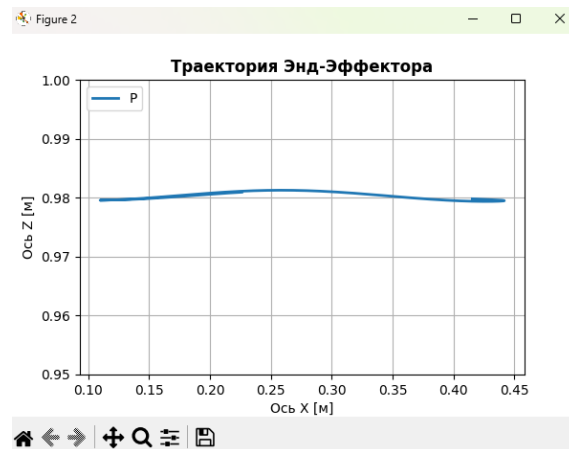


Рис. 2.2: Траектория Энд-Эффектора

3 Вывод

В данной работе была смоделирована динамика пассивного коленного механизма типа Optimus knee в среде MuJoCo на основе XML-описания и реализован Python-скрипт, позволяющий возбудить движение системы и зарегистрировать траекторию энд-эфектора. На основании исходных табличных значений длин звеньев была собрана базовая модель, для которой вычислено среднеквадратичное отклонение вертикальной координаты энд-эфектора от заданной высоты h_z . Для исходной геометрии эта ошибка составила порядка 0.0113 м, что демонстрирует заметное, но не критическое отклонение траектории от идеальной горизонтальной линии.

Далее был реализован численный поиск геометрических параметров звеньев с использованием оптимизатора `scipy.optimize.minimize`. В качестве целевой функции использовалась ошибка по высоте точки P , а в виде ограничений были заданы жёсткие соотношения между длинами звеньев. В результате работы оптимизатора ошибка была уменьшена до величины порядка $3.4 \cdot 10^{-7}$ м, то есть практически до нуля, что соответствует почти идеально горизонтальной траектории энд-эфектора на заданной высоте. Однако за столь малую ошибку пришлось заплатить существенным изменением исходной геометрии: оптимальные длины звеньев заметно отличаются от значений, заданных в условии лабораторной работы.

Таким образом, в ходе работы были показаны как возможности среды MuJoCo для моделирования многозвенных механизмов с демпфированием в шарнирах и сенсорикой, так и эффективность численной оптимизации для формирования требуемых траекторий. Вместе с тем стало очевидно, что при постановке задачи оптимизации необходимо аккуратно выбирать ограничения на параметры: слишком жёсткие соотношения могут приводить к нереалистичным изменениям конструкции, даже если формально достигается почти нулевая ошибка по выбранному критерию.

Список иллюстраций

1.1	Заданная система	1
2.1	Получившаяся система в среде MuJoCo	4
2.2	Траектория Энд-Эффектора	9